

# Гидравлические сопротивления при продольном обтекании пучков гладких и оребренных стержней

В. И. СУББОТИН, Б. Н. ГАБРИАНОВИЧ, А. В. ШЕЙНИНА

УДК 621.039.5/6

Настоящая работа посвящена исследованию гидравлических сопротивлений в пучках стержней. В работе [1] проведен анализ данных по измерению коэффициентов трения в пучках гладких труб. При рассмотрении результатов опытов было замечено, что форма обечайки оказывает влияние на гидравлическое сопротивление пучков труб. Было высказано мнение, что пучки труб, имеющих обечайку с фигурными вытеснителями, имеют большее сопротивление, чем пучки труб, окруженные плоской шестиугранной обечайкой (при  $S/d = \text{idem}$ ). Замечено также, что различие гидравлических сопротивлений для этих двух типов пучков возрастает с увеличением шага пучка.

Для исследования влияния формы обечайки на коэффициенты трения пучков труб проведены опыты на пучках труб с шагом  $S/d = 1,5$ . Измерения коэффициентов трения проводили на четырех рабочих участках, на которых использовали одни и те же решетки, стержни и трубы. В моделях заменяли обечайку и число стержней. Размеры обечайки выбирали таким образом, чтобы обеспечить равенство гидравлических диаметров модели и «бесконечной» ячейки ( $d_r = d_{r\infty}$ ). Максимальное различие  $d_r$  и  $d_{r\infty}$  составляло  $\sim 8\%$ .

Опыты проводили по общепринятой методике на гидравлическом стенде. Пределная относительная ошибка в измерении коэффициентов гидравлического сопротивления составляла 7–10%.

Как видно из рис. 1, отличие коэффициентов трения для исследованных пучков с шагом  $S/d = 1,5$  находится в пределах точности эксперимента. Эксперименты, проведенные на четырех пучках с шагом  $S/d = 1,5$ , имеющих обечайки различной формы, показали, что форма обечайки слабо влияет на величину коэффициента трения раздвинутого пучка, когда размеры и форма обечайки выбраны так, что

$d_r \approx d_{r\infty}$ . Замеченное ранее [1] различие коэффициентов трения для пучков труб с фигурными вытеснителями и шестиугранной плоской обечайкой, по-видимому, было вызвано тем, что при анализе экспериментальных данных использовались результаты работ [2–4], которые, как показали более поздние исследования, являются завышенными. В этих работах опыты проводились на моделях с фигурными вытеснителями.

В результате анализа экспериментальных данных получена эмпирическая формула для расчета коэффициентов трения в пучках гладких стержней с шагом треугольной решетки  $1 < S/d < 1,5$  при турбулентном течении жидкости:

$$\lambda/\lambda_0 = 0,6 + 0,6(S/d - 1)^{0,2}. \quad (1)$$

Эта зависимость хорошо аппроксимирует результаты настоящей работы и с точностью  $\pm 10\%$  описывает большинство рассмотренных экспериментальных данных других авторов.

В настоящее время наиболее распространенным способом дистанционирования стержней является спиральное оребрение. При навивке дистанционирующих ребер на поверхность стержня высота ребер равна минимальному зазору между стержнями ( $S - d$ ) или половине этого зазора ( $\frac{S-d}{2}$ ). В первом случае происходит

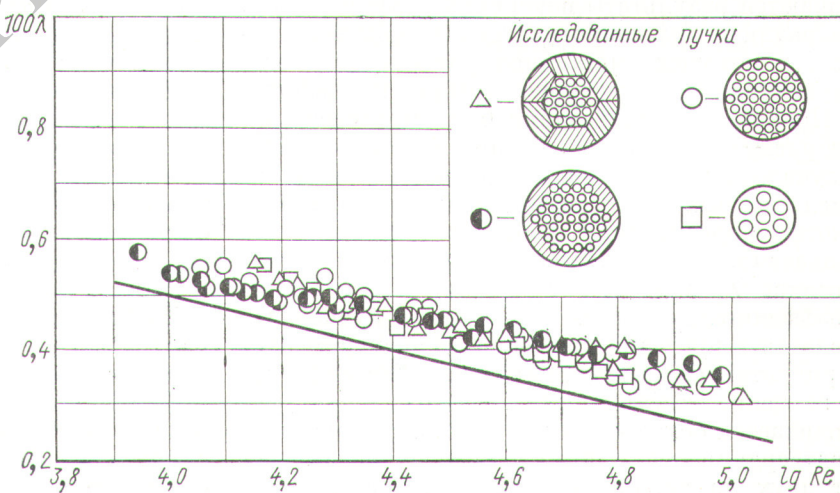


Рис. 1. Коэффициенты трения для пучков гладких стержней с шагом  $S/d = 1,5$ . Прямая — расчет по формуле Блазиуса ( $\lambda_0 = 0,316 \text{ Re}^{-0,25}$ ).

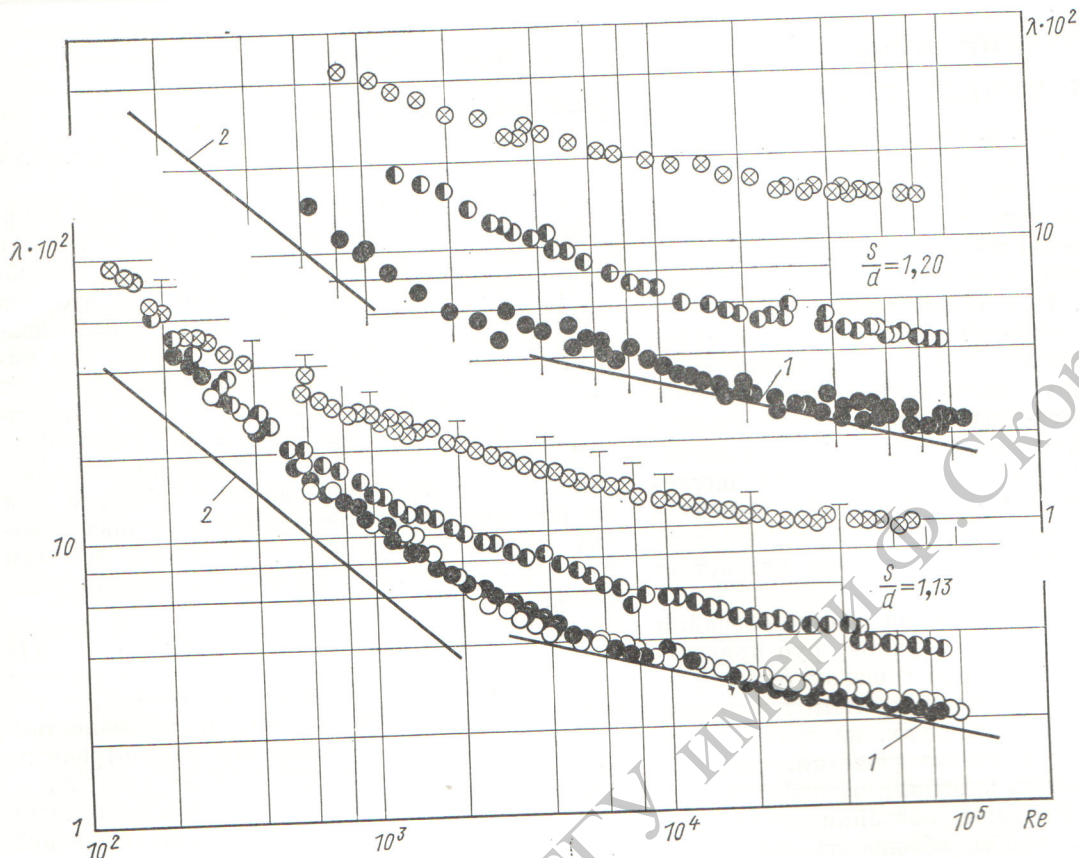


Рис. 2. Коэффициенты гидравлических сопротивлений для ребристых пучков:  
 ○ — без ребер; ● —  $T/d = 21,4$ ; ▲ —  $T/d = 10$ ; ⊗ —  $T/d = 5$ .

касание «ребро по оболочке», во втором — «ребро по ребру». В настоящей работе рассматриваются результаты измерений коэффициентов гидравлических сопротивлений ребристых пучков, в которых дистанционирование стержней осуществляется касанием «ребро по ребру».

Подробные исследования были проведены на ребристых пучках с шагом  $S/d = 1,05$  [1]. Изучалось влияние шага навивки ребер и их числа на величину коэффициента гидравлического сопротивления ребристого пучка ( $\lambda_p$ ). Показано, что для пучков с шагом  $S/d = 1,05$  отличие  $\lambda_p$  при шагах навивки  $T/d > 20$  от коэффициентов трения для гладких пучков находится в пределах погрешности эксперимента. При уменьшении шага навивки ребер от 20 до 5 значение коэффициентов сопротивления увеличивается более чем в два раза. Эксперименты подтвердили также, что увеличение числа ребер от двух до четырех (при  $20 \leq T/d \leq 100$ ) не влияет на величину коэффициентов гидравлического сопротивления.

В настоящей работе были продолжены начатые ранее [1] систематические исследования гидравлических сопротивлений ребристых пучков. Проведены измерения коэффициентов гидравлического сопротивления в пучках стержней с шагом треугольной решетки 1,13 и 1,20 при шагах навивки ребер 21,4; 10 и 5 (рис. 2). На этом же рисунке для сравнения приведены прямые для круглых труб: прямая 1, рассчитанная по формуле Блазиуса, и прямая 2, рассчитанная по формуле

$$\lambda = \frac{64}{Re} . \quad (2)$$

Из рисунка следует, что коэффициенты гидравлического сопротивления для ребристого пучка с шагом  $S/d = 1,13$  и навивкой ребер  $T/d = 21,4$  при турбулентном режиме течения жидкости ( $Re > 10^4$ ) практически совпадают с коэффициентами трения для гладкого пучка с тем же шагом  $S/d$ . Для пучка с  $T/d = 10$  отношение  $\lambda_p/\lambda \approx 1,8$ , для  $T/d = 5$  коэффициенты сопротивления пучка с ребристыми трубы

бками больше, чем для пучка с гладкими трубками, примерно в четыре раза.

Из результатов опытов были определены приближенные критические числа Рейнольдса для исследованных пучков с шагом  $S/d = 1,13$ , равные примерно 800, 500 и 200 для  $T/d$ , равных 21,4; 10 и 5 соответственно. Переход от ламинарного к турбулентному режиму течения в пучке с трубками без ребер и с ребрами при  $T/d = 21,4$  начинается при одинаковом критическом числе Рейнольдса ( $Re_{kp} \approx 800$ ). Это свидетельствует о том, что ребра с шагом навивки более 20 слабо турбулизируют поток жидкости.

Для расчета коэффициентов трения в пучках ребристых труб с  $S/d = 1,13$  при ламинарном режиме течения жидкости получена эмпирическая зависимость

$$(\lambda_p/\lambda)_L = 1 + \frac{1,7}{T/d}. \quad (3)$$

Для пучков труб с шагом  $S/d = 1,2$  опыты проводили в переходной и турбулентной областях течения жидкости (см. рис. 2). Как и для пучка с шагом  $S/d = 1,13$ , при большом шаге навивки ребер ( $T/d = 21,4$ ) влияние ребер на коэффициенты гидравлического сопротивления в турбулентной области течения жидкости несущественно и находится в пределах точности эксперимента. С уменьшением шага навивки ребер коэффициенты гидравлического сопротивления ребристого пучка ( $S/d = 1,2$ ) увеличиваются. В этом случае увеличение коэффициентов сопротивления в ребристых пучках по сравнению с гладким пучком составляет  $\lambda_p/\lambda \approx 1,9$  для  $T/d = 10$  и  $\lambda_p/\lambda = 5,4$  для  $T/d = 5$ . При определении величины  $\lambda_p/\lambda$  использовали данные для гладкого пучка с шагом  $S/d = 1,2$ , полученные нами ранее [5]. Сравним эти результаты с известными данными других авторов для ребристых пучков с касанием «ребро по ребру».

Для анализа экспериментальных данных по определению коэффициентов гидравлического сопротивления в ребристых пучках рассмотрим величину  $\lambda_p/\lambda$ . За величину  $\lambda$  принимаем коэффициент трения для гладкого пучка с тем же шагом  $S/d$ , а там, где нет данных для гладкого пучка, — коэффициент сопротивления ребристого пучка с большим шагом навивки ребер ( $T/d > 30$ ).

Рассмотрим рис. 3, на котором приведены результаты измерений коэффициентов гидравлического сопротивления ребристых пучков, полученные в работах [1, 6], а также результа-

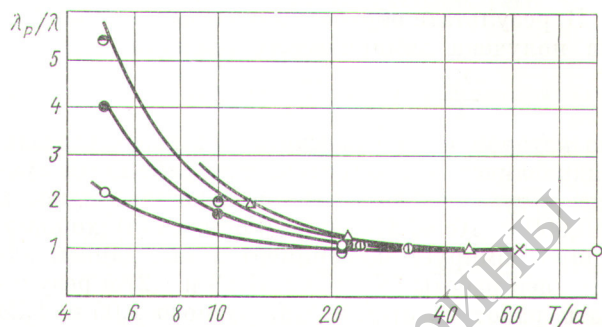


Рис. 3. Зависимость коэффициентов гидравлического сопротивления ребристых пучков от шага навивки ребер:

○ — расчет по формуле (4) для  $S/d = 1,05, m = 4$  [1]; ● —  $S/d = 1,13, m = 4$ ; ○ —  $S/d = 1,20, m = 4$ ; △ —  $S/d = 1,23, m = 3$  [6]; ○ —  $S/d = 1,10, m = 2$  [1]; × —  $S/d = 1,15, m = 4$  [1].

ты настоящей работы для турбулентного режима течения жидкости. Все экспериментальные данные приведены в координатах  $\lambda_p/\lambda$  —  $T/d$  для фиксированного шага  $S/d$ .

Из рис. 3 следует, что коэффициенты гидравлического сопротивления для ребристых пучков слабо зависят от шага навивки ребер при  $T/d > 30$ . Уменьшение шага навивки в области  $T/d < 30$  приводит к заметному увеличению коэффициентов сопротивления в ребристых пучках. С возрастанием  $S/d$  степень влияния шага навивки ребер на величину коэффициента гидравлического сопротивления увеличивается. Из анализа экспериментальных результатов установлено, что при постоянном относительном шаге навивки ребер наблюдается линейная зависимость величины  $\lambda_p/\lambda$  от шага пучка или, что то же самое, от высоты ребер (рис. 4).

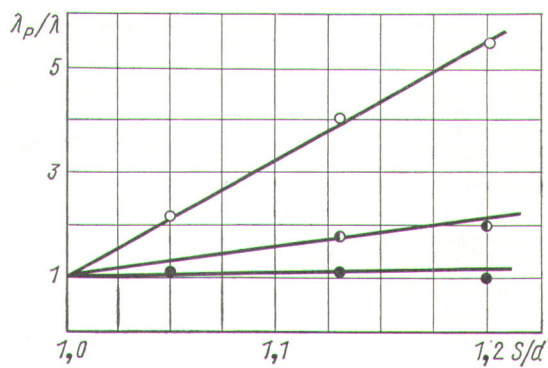


Рис. 4. Зависимость коэффициентов гидравлического сопротивления ребристых пучков от шага пучка  $S/d$ .  
 $T/d$  равно: ○ — 5, ● — 10; ● — 21,4.

В результате обработки опытных данных была получена эмпирическая формула

$$\frac{\lambda_p}{\lambda} = 1 + \frac{600}{(T/d)^2} (S/d - 1), \quad (4)$$

по которой можно рассчитывать коэффициенты гидравлического сопротивления ребристых пучков в турбулентном режиме течения жидкости ( $10,000 \leq Re \leq 100,000$ ). Формула (4) хорошо аппроксимирует экспериментальные данные настоящей работы ( $S/d$  равно 1,13 и 1,2) и результаты работ [1, 5] для  $S/d$ , равного 1,05 и 1,23 соответственно.

Поступила в Редакцию 9/XII 1971 г.  
В окончательной редакции 28/III 1972 г.

## ЛИТЕРАТУРА

1. А. В. Шейнина. В сб. «Жидкие металлы». М., Атомиздат, 1967, стр. 210.
2. R. Miller et al. A.I.Ch.E. J. 2, No. 2, 226 (1956).
3. В. И. Субботин и др. «Атомная энергия», 9, 308 (1960).
4. Э. В. Фирсова. «Инф.-физ. ж.», № 5, 17 (1963).
5. В. И. Субботин и др. (СССР). Симпозиум СЭВ «Состояние и перспективы работ по созданию АЭС с реакторами на быстрых нейтронах». Т. 2, Обнинск, 1967, стр. 529.
6. П. И. Пучков, О. С. Виноградов. «Труды ЦКТИ». Вып. 82, 135 (1968).

## Рефераты статей, опубликованных в настоящем выпуске

УДК 621.039.54

**Некоторые технические принципы международного контроля ядерных материалов.** В. М. Шмелев. «Атомная энергия», 33, 883 (1972).

Суммированы основные технические принципы и процедуры применения гарантов МАГАТЭ в условиях действия Договора о нераспространении ядерного оружия.

Контроль ядерных материалов определен как последовательность анализов и заключений в отношении количества и размещения ядерных материалов. Он может осуществляться с помощью трех основных методов: учета и баланса ядерных материалов, сохранения материалов и наблюдения.

Контроль осуществляется в следующей последовательности:

- 1) анализ учетных документов и отчетов; 2) проверка путем проведения независимых измерений; 3) анализ причин существенных расхождений учетных данных о количестве материала с фактическим количеством материала и 4) использование «ограничения доступности» и «наблюдения» как методов контроля ядерных материалов.

УДК 621.039.5/6

**Гидравлические сопротивления при продольном обтекании пучков гладких и ребристых стержней.** В. И. Субботин, Б. Н. Габрианович, А. В. Шейнина. «Атомная энергия», 33, 889 (1972).

Проведены экспериментальные исследования гидравлических сопротивлений в пучках гладких и ребристых стержней, расположенных в треугольной решетке. Получена эмпирическая формула для определения коэффициентов трения в пучках гладких стержней с относительным шагом  $S/d = 1,0 \div 1,5$  при числах  $10^4 < Re < 10^5$ . Исследовано влияние шага навивки ребер на коэффициенты гидравлического сопротивления в пучках ребристых стержней. Приведены формулы для расчета коэффициентов гидравлического сопротивления в пучках ребристых стержней с  $S/d = 1,0 \div 1,2$  и относительным шагом навивки ребер  $T/d = 5 \div \infty$  при турбулентном режиме течения жидкости. (4 рис., 6 библиографических ссылок.)

УДК 621.039.5/6:532.517.4

**Экспериментальные исследования осредненных характеристик турбулентного потока в ячейках пучков стержней.** Ю. Д. Левченко, В. И. Субботин, П. А. Ушаков. «Атомная энергия», 33, 893 (1972).

В опытах с воздухом измерены распределения касательных напряжений на стенках и профили скорости в каналах, имитирую-

ющих ячейки треугольных решеток стержней с  $s/d$ , равным 1,05; 1,1; 1,2. Получены эмпирические формулы для коэффициентов трения и распределений касательных напряжений в правильных ячейках пучков стержней. Экспериментально подтверждена гипотеза об универсальности профилей скорости в каналах сложной формы, широко использующаяся в расчетно-теоретических исследованиях. Выявлены особенности процессов течения жидкостей в моделирующих каналах и правильных ячейках пучков стержней. (6 рис., 1 табл., 15 библиографических ссылок.)

УДК 546.799.4

**Среднее число мгновенных нейтронов  $\bar{v}$  при делении  $Pu^{239}$  нейtronами с энергией до 1,6 Мэв.** К. Е. Володин, В. Ф. Кузнецов, В. Г. Нестеров, Б. Нурпесиков, Л. И. Прокопова, Ю. М. Турчин, Г. Н. Смиренин. «Атомная энергия», 33, 901 (1972).

Двумя относительными методами измерена зависимость среднего числа мгновенных нейтронов  $\bar{v}$ , испускаемых на акт деления  $Pu^{239}$ , от энергии бомбардирующих нейтронов  $E_n$  в диапазоне 0—1,6 Мэв с точностью 0,8—1,0%. Обсуждается корреляция между нерегулярностями в ходе  $v(E_n)$  и ряда других характеристик процесса деления  $Pu^{239}(n, f)$ . (2 рис., 3 табл., 20 библиографических ссылок.)

УДК 621.384.639

**О принципах конструкций и возможном применении ускорителей со сверхсильным магнитным полем, получаемым с помощью взрыва.** В. С. Панасюк, А. А. Соколов, Б. М. Степанов. «Атомная энергия», 33, 907 (1972).

Предложено несколько вариантов ускорителей однократного действия со сверхсильным магнитным полем, получаемым с помощью магнитокумулятивных генераторов. Рассмотрены циклические ускорители с бетатронным и высокочастотным ускорением, а также ускорители прямого действия. Описаны возможные способы инъекции и выпуска частиц. Оцениваются перспективы использования предложенных циклических ускорителей для получения частиц сверхвысоких энергий. Указано, что применение подобных ускорителей целесообразно для ускорения пучков вторичных частиц и осуществления принципиально важных для физики высоких энергий экспериментов на встречных  $\mu$ -мезонных и  $\pi$ -мезонных пучках. (5 рис., 10 библиографических ссылок.)